

# Vpliv kemijske sestave na premenske točke ledeburitnih orodnih jekel

Jože Rodič,  
Antonija Šegel

V okviru raziskovalnega projekta ledeburitnih orodnih jekel v železarni Ravne so bile opravljene obsežne dilatometrske preiskave, od katerih je v članku opisano določevanje premenskih točk za vsa jekla iz raziskovalnega programa.

Zanimiva je analiza vplivov kemijske sestave na temperature premenskih točk in na dilatacije v premenskem območju, čeprav ravno pri teh jeklih premenske točke nimajo tolikšnega pomena za toplotno obdelavo kot pri drugih. Zaradi raztavljanja karbidov je temperatura avstenitizacije pri kaljenju precej višja od temperature konca premene alfa-gama pri ogrevanju.

Analize regresije so pokazale izredno visoko statistično pomembnost obravnavanih odvisnosti, tako da so v zaključkih navedeni vplivi statistično zanesljivi, nomogrami v članku pa podrobnejše prikazujejo ugotovitve te raziskave. Vse statistične analize porazdelitev in regresij so bile izvršene na računalniku IBM 370/135 z lastnimi posebnimi programi oddelka AOP v železarni Ravne.

Premenske točke predstavljajo zelo pomembne karakteristike vrste jekla in so odvisne od kemične sestave in hitrosti ogrevanja ter ohlajevanja. Spoznavanje premenskih točk preiskovanih jekel predstavlja seveda potrebno osnovo za sistematično planiranje raziskav na področju toplotne obdelave. Zato je bilo določanje premenskih točk vključeno tudi v prvo fazo raziskovalnega projekta ledeburitnih orodnih jekel. Pri tem smo imeli priliko primerjati premenske točke za enajst vrst jekel iz skupine orodnih jekel ledeburitnega tipa. Ponudila se je tudi možnost zanimive računalniške obdelave in analize korelacij, ki jo v nadalnjem obravnavamo.

Metodika določevanja premenskih točk je splošno poznana, zato naj omenimo le nekaj osnovnih pogojev preizkušanja. Vse meritve smo izvajali z dilatometrom, tipa DITIRC firme ADAMEL in pri tem uporabljali hitrost ogrevanja in ohlajanja  $2,5^{\circ}\text{C min}^{-1}$ .

Jože Rodič, dipl. inž. metalurgije, vodja službe za razvoj tehnologije, izdelkov in metalurške raziskave v železarni Ravne.

Antonija Šegel, metalurški tehnik, raziskovalec za dilatometrijo v metalografskih laboratorijskih Železarne Ravne.

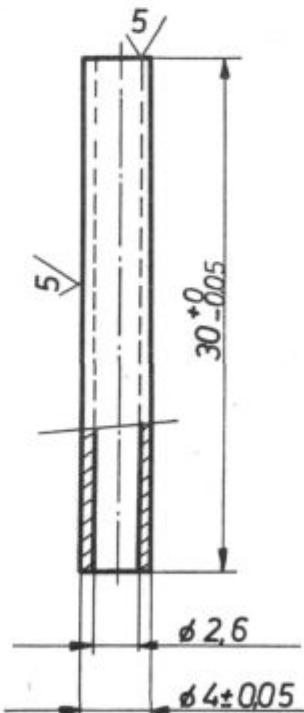
UDK: 669.15 - 194.58  
ASM/SLA: N8, M23b, S12, TSh, 2 - 60

Preizkušanec za dilatometrske meritve prikazuje slika 1.

Termoelement je privarjen uporovno v cevki — preizkušancu, katerega vložimo v kremenčeve cev in vse skupaj montiramo v dilatometer.

Pri ledeburitnih orodnih jeklih moramo s temperaturo in časom avstenitizacije omogočiti ustrezeno raztapljanje karbidov. Prav pri teh jeklih je zelo pomembno zagotoviti natančno temperaturo avstenitizacije in enak čas, če hočemo rezultate med seboj primerjati. Zato smo tudi pri določevanju premenskih točk preizkušance vedno ogrevali do enake temperature  $1040^{\circ}\text{C}$  in jih po zadržanju 10 minut na tej temperaturi začeli ohlajati s predpisano hitrostjo.

Zaradi različnih načinov odčitavanja premenskih točk na dilatometrskih krivuljah naj omenimo, da smo pri vseh naših preiskavah odčitavali premene v točki, kjer se začne krivulja odklanjati od premice.



Slika 1  
Proba za preiskave na dilatometru DITRIC — ADAMEL  
Fig. 1  
Test probe for DITIRC-ADAMEL dilatometer.

Tabela 1: Kemijske sestave in temperature premenskih točk preiskovanih jekel

| Oznaka prob                  | Vrsta jekla     | Kemijska sestava |                 |                 |                 | Temperature premenskih točk °C |                 |                 |                 |                 |      |     | bainita % |
|------------------------------|-----------------|------------------|-----------------|-----------------|-----------------|--------------------------------|-----------------|-----------------|-----------------|-----------------|------|-----|-----------|
|                              |                 | % C              | % Cr            | % W             | % Mo            | % V                            | Ac <sub>1</sub> | Ac <sub>3</sub> | Ar <sub>1</sub> | Ar <sub>3</sub> | Bs   | —   |           |
| X <sub>16</sub>              | X <sub>17</sub> | X <sub>18</sub>  | X <sub>19</sub> | X <sub>20</sub> | X <sub>01</sub> | X <sub>02</sub>                | X <sub>03</sub> | X <sub>04</sub> | —               | —               | —    | —   | —         |
| J 2 C — 12 Cr                |                 | 2,01             | 12,3            | 0               | 0,05            | 0,06                           | 785             | 815             | 745             | 720             | 550  | 1—2 |           |
| K 1,5 C — 12 Cr              |                 | 1,58             | 12,7            | 0               | 0,01            | 0,01                           | 805             | 840             | 760             | 725             | —    | —   |           |
| L 1,5 C — 12 Cr — 1 V        |                 | 1,56             | 12,3            | 0               | 0,01            | 1,05                           | 800             | 830             | 755             | 725             | 550  | 1—2 |           |
| M 1,5 C — 12 Cr — 1 Mo       |                 | 1,57             | 12,0            | 0               | 0,99            | 0,06                           | 800             | 835             | 740             | 685             | 545* | —   |           |
| N 1,5 C — 12 Cr — 1 V — 1 Mo |                 | 1,58             | 12,0            | 0               | 0,94            | 1,15                           | 815             | 840             | 750             | 700             | —    | —   |           |
| R Č. 4150 — OCR 12           |                 | 2,03             | 11,3            | 0,10            | 0,06            | 0,13                           | 770             | 805             | 740             | 705             | 560* | —   |           |
| S Č. 4650 — OCR 12 spec.     |                 | 2,08             | 11,8            | 0,85            | 0,10            | 0,12                           | 780             | 815             | 730             | 690             | 550  | 2   |           |
| T Č. 4750 — OCR 12 extra     |                 | 1,59             | 11,8            | 1,11            | 0,66            | 0,16                           | 800             | 835             | 740             | 690             | —    | —   |           |
| U Č. 4850 — OCR 12 VM        |                 | 1,49             | 11,2            | 0,10            | 0,81            | 0,93                           | 810             | 840             | 745             | 690             | 470* | —   |           |
| V Č. 4754 — CRV              |                 | 0,91             | 10,6            | 0,10            | 1,05            | 0,25                           | 800             | 835             | 730             | 630             | 455  | 50  |           |
| Z Č. 7680 — BRM-2            |                 | 0,82             | 4,25            | 6,34            | 5,07            | 1,92                           | 810             | 860             | 785             | 660             | 465  | 3   |           |

\* Pri tej temperaturi je dilatometrska krivulja nakazala začetek tvorbe bainita, ki pa ga pri meta-

loграфskem pregledu nismo mogli odkriti.

Kemijske sestavine preiskovanih jekel so navedene v tabeli 1, ki podaja tudi temperature premenskih točk.

Znano je, da poteka pri ledeburitnih orodnih jeklih temperaturna premena alfa—gama v tem-

peraturnem intervalu, tako da registriramo pri ogrevanju začetek in konec premene ter obe premenski točki označujemo Ac<sub>začetek</sub> in Ac<sub>konec</sub>. Zadradi poenostavitev pri računalniški obdelavi ne uporabljamo teh različnih oznak (glej sliko 2) in smo zato ti dve premenski točki označili z Ac<sub>1</sub> in Ac<sub>3</sub>. Analogno je pri ohlajanju premena Ar<sub>začetek</sub> označena z Ar<sub>3</sub> in Ar<sub>konec</sub> z Ar<sub>1</sub>. Te oznake smo uporabili v vseh tabelah in obdelavah, ker se nanašajo na računaniške vhodne podatke in oznake v banki podatkov za AOP.

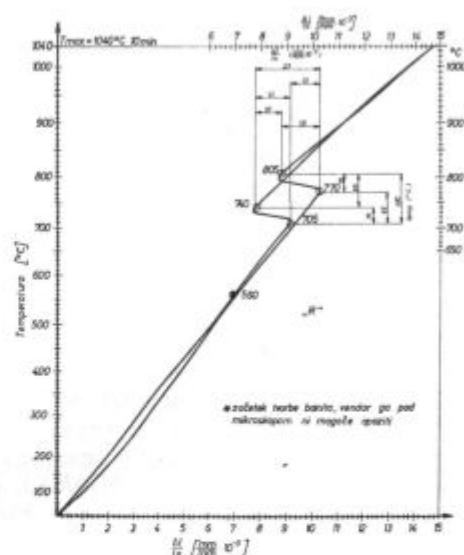
|  |                       |                 |                          |                                      |       |          |             |
|--|-----------------------|-----------------|--------------------------|--------------------------------------|-------|----------|-------------|
|  |                       | ŽELEZARNA RAVNE |                          | Metalografski laboratoriј            |       |          |             |
| DILATOMETRSKE PREISKAVE JEKEL  |                       |                 |                          |                                      |       |          |             |
| Vrednost po ŽR:  |                       |                 |                          |                                      |       |          |             |
| VK   | Interni delovni nalog |                 | Zap. Al.                 | Meril                                | Datum | V J      | Janje (GUB) |
| 8 8 2  | 10                    |                 | 34                       | 80                                   | 87    | 87       | 80          |
| Naziv meritve  |                       | Koda            | Vrednost                 | Naziv meritve                        | Koda  | Vrednost |             |
| Premenski točki (°C)<br>Lokalni tehnološki koeficient<br>$(10^{-3} \text{ °C}^{-1})$ | Ac <sub>1</sub>       | 601             |                          | Temp. kalorija<br>v kalorijah (°C)   | 510   |          |             |
|  | Ac <sub>3</sub>       | 602             |                          | Kalorija sredstva<br>v kalorijah     | 560   |          |             |
|  | Ar <sub>1</sub>       | 604             |                          | Homo segregacija<br>v °C (npr. Cr=1) | 606   |          |             |
|  | Ar <sub>3</sub>       | 605             |                          | Začetek<br>ZA → M                    | 621   |          |             |
|  | M <sub>1</sub>        | 605             |                          | Konec<br>ZA → M                      | 622   |          |             |
|  | med<br>20–100°C       | 611             |                          | Začetek<br>M → Pm                    | 623   |          |             |
|  | med<br>30–200°C       | 612             |                          | Konec<br>M → Pm                      | 624   |          |             |
|  | med<br>20–350°C       | 613             |                          | Začetek<br>Pm → B                    | 625   |          |             |
|  | med<br>20–450°C       | 614             |                          | Konec<br>Pm → B                      | 626   |          |             |
|  | med<br>20–500°C       | 615             |                          | Začetek<br>B → FP                    | 627   |          |             |
| med<br>20–600°C  | 616                   |                 | Konec<br>B → FP          | 628                                  |       |          |             |
| med<br>20–700°C  | 617                   |                 | Začetek<br>Pm → FP       | 629                                  |       |          |             |
| med<br>20–800°C  | 618                   |                 | Konec<br>Pm → FP         | 630                                  |       |          |             |
| Serie:   |                       | Dosevanje:      |                          |                                      |       |          |             |
| Lokaj:   | Vredno:               | Opozic:         | Vredno ali<br>dosevočja: |                                      |       |          |             |

Slika 2

Dokument za vnašanje dilatometričnih meritev v banko podatkov AOP

Fig. 2

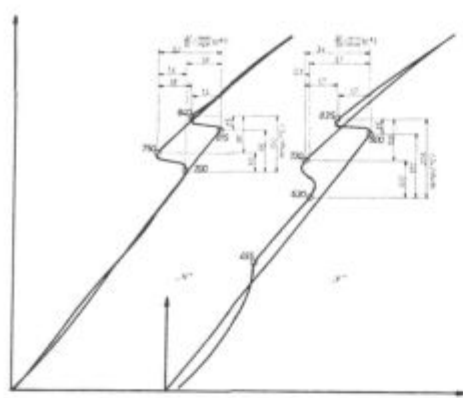
Sheet for recording dilatometric measurements for AOP data bank.



Slika 3

Dilatometric curve recorded in determining transformation points of Č.4150 — OCR 12 steel (sample R)

Fig. 3



Slika 4

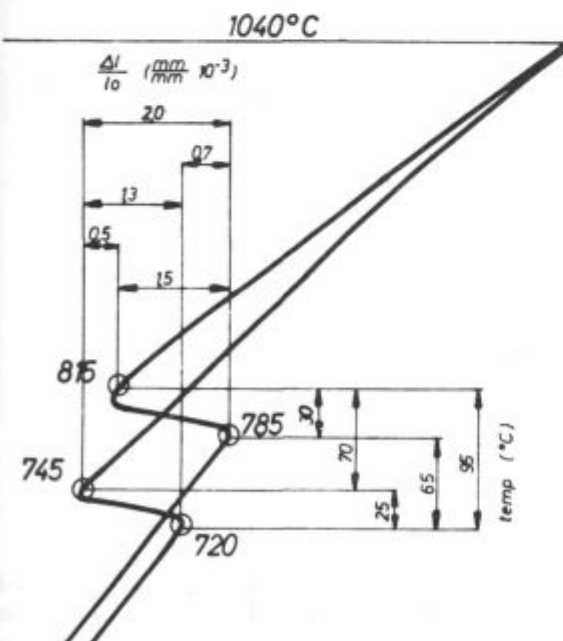
Primer dilatometrskih krivulj za jeklo Č.4850 — OCR 12 VM (oznaka N) in Č.4754 — CRV (oznaka V)

Fig. 4

Dilatometric curves of Č.4850 — OCR 12 VM (sample N) and Č.4754 — CRV (sample V) steel.

Za ilustracijo podaja slika 3 dilatometrsko kri-  
vuljo jekla Č 4150 — OCR 12, slika 4 pa dilatome-  
trski krivulji za jekli Č 4850 — OCR 12VM in Č 4754  
— CRV.

Jeklo Č 4850 — OCR 12 VM (»N«) je v vseh pri-  
merih pokazalo najenakomernejši potek krivulj zunaj premenskega območja. Krivulji ogrevanja in ohlajanja se skoraj pokriva. Drugo skrajnost med obravnavanimi vrstami jekel kaže dilatome-  
trska krivulja za jeklo Č 4754 — CRV (»V«), ki je edina pokazala pri ohlajanju jasno izraženo bainit-  
no premeno.



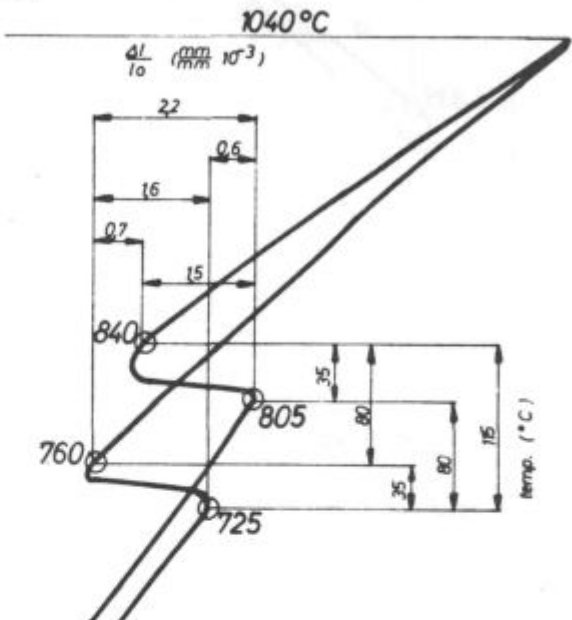
Slika 5

Jeklo J 2 % C — 12 % Cr

Fig. 5

Steel J 2 % C — 12 % Cr.

Ker nas pri zastavljeni raziskavi zanima le pre-  
mensko območje, ne pa nizkotemperaturni del  
dilatometrskih krivulj, podajamo na slikah 5 do  
15 samo izreze premenskega območja za primer-  
jave vseh preiskovanih jekel. Vse temperaturne  
razlike in razlike dilatacij med premenskimi toč-  
kami, ki so kotirane na slikah, podajata tabeli 2  
in 3.

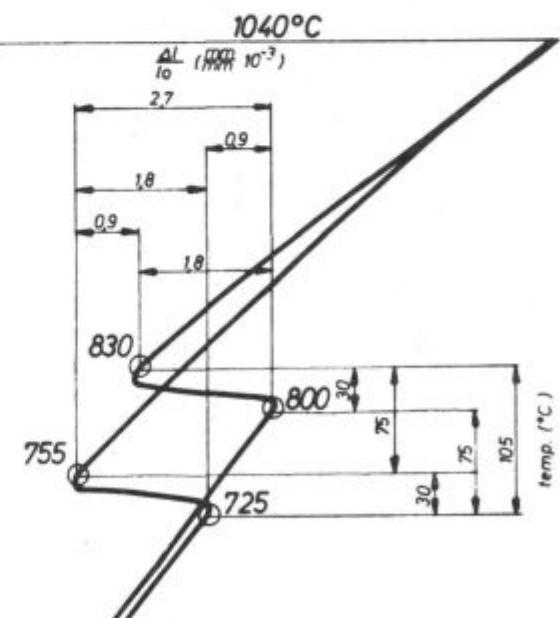


Slika 6

Jeklo K 1,5 % C — 12 Cr

Fig. 6

Steel K 1.5 % C — 12 % Cr

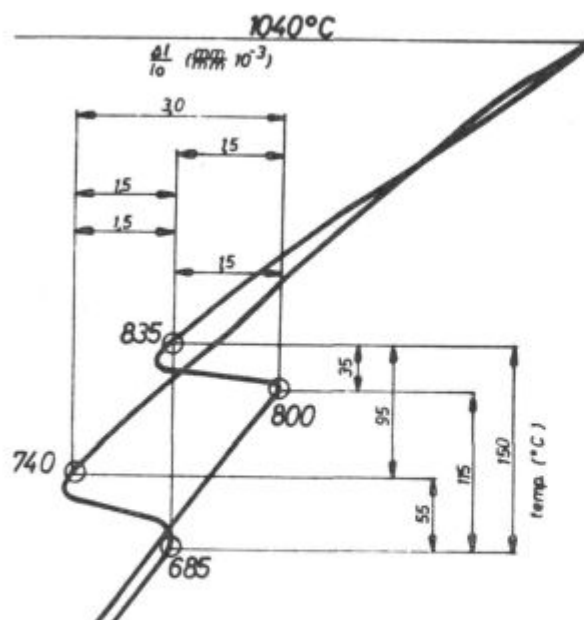


Slika 7

Jeklo L 1,5 % C — 12 % Cr — 1 % V

Fig. 7

Steel L 1.5 % C — 12 % Cr — 1 % V

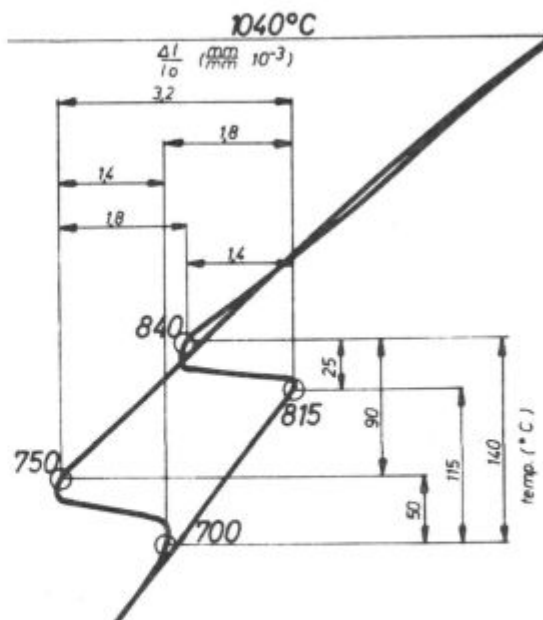


Slika 8

Jeklo M 1,5 % C — 12 % Cr — 1 % Mo

Fig. 8

Steel M 1,5 % C — 12 % Cr — 1 % Mo

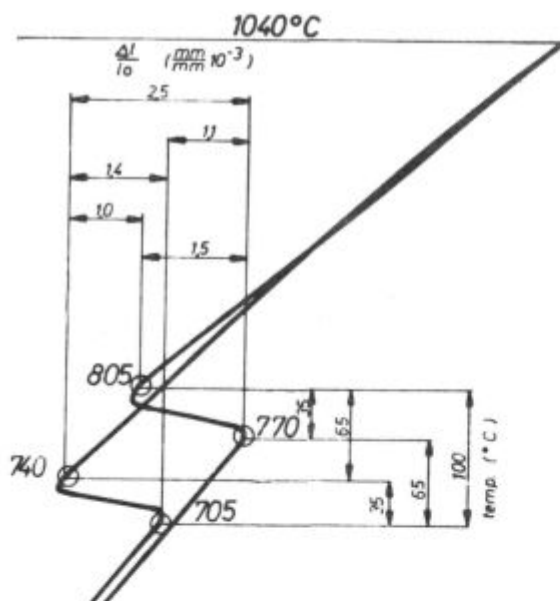


Slika 9

Jeklo N 1,5 % C — 12 % Cr — 1 % V — 1 % Mo

Fig. 9

Steel N 1,5 % C — 12 % Cr — 1 % V — 1 % Mo

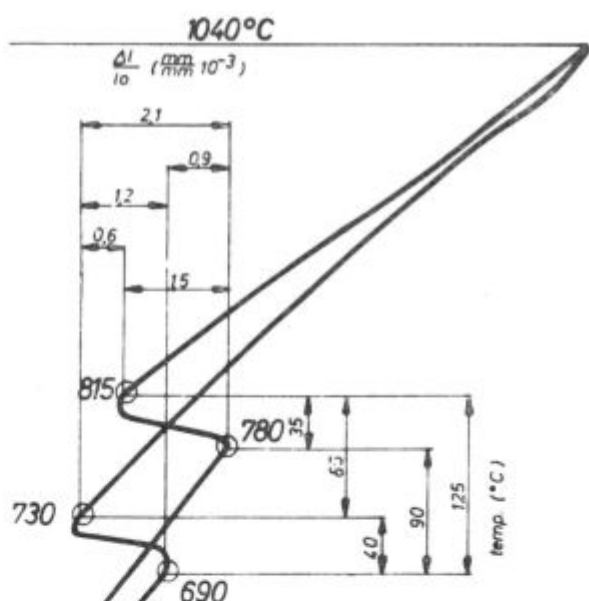


Slika 10

Jeklo R Č.4150 — OCR 12

Fig. 10

Steel R Č.4150 — OCR 12



Slika 11

Jeklo S Č.4650 — OCR 12 special

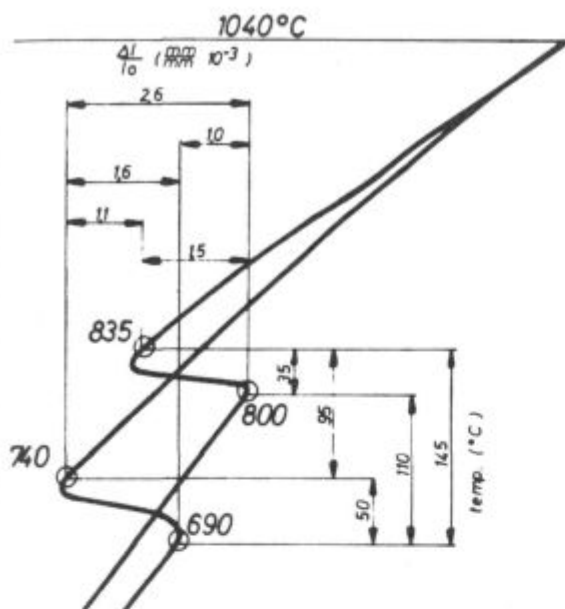
Fig. 11

Steel S Č.4650 — OCR 12 special

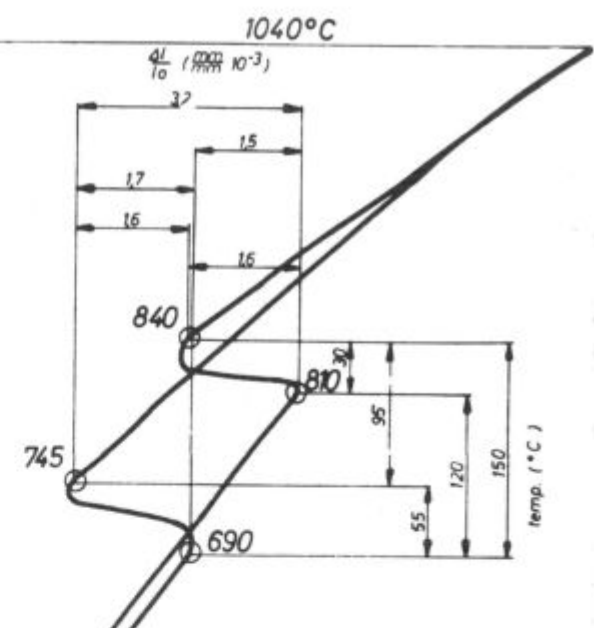
Vse podatke, označene z  $x_{01}$  do  $x_{20}$  v tabelah 1 do 3, smo uporabili kot vhodne podatke za analizo korelacij.

Tabela 4 podaja izvleček računalniškega izpisa, ki ponazarja območja variacij vseh spremenljivk v analizah korelacije, ki smo jih pri raziskavah izvršili.

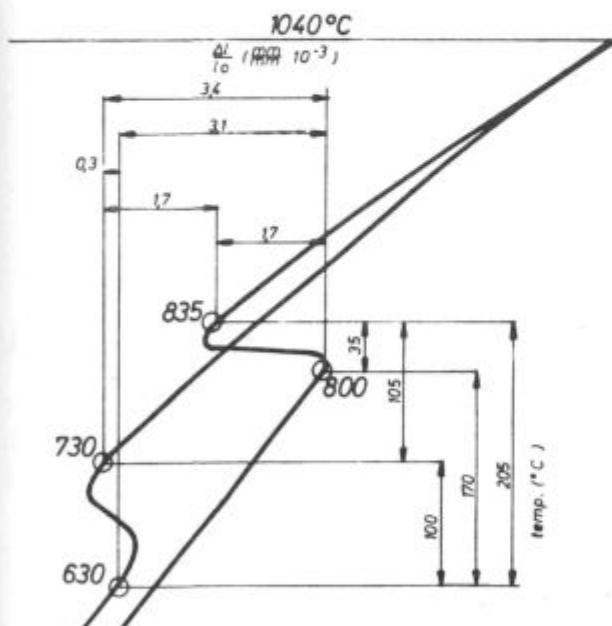
V tabeli 5, ki prikazuje koreacijsko matriko med odvisnimi spremenljivkami  $x_{01}$  do  $x_{14}$  in neodvisnimi spremenljivkami  $x_{15}$  do  $x_{20}$ , ki predstavljajo elemente v kemijski sestavi, so podani parcialni koeficienti korelacije med pari spremenljivk. Koeficienti brez predznaka, torej pozitivni, ponazarjajo premosorazmerno odvisnost, negativni pa obrat-



Slika 12  
Jeklo T C.4750 — OCR 12 extra  
Fig. 12  
Steel T C.4750 — OCR 12 extra



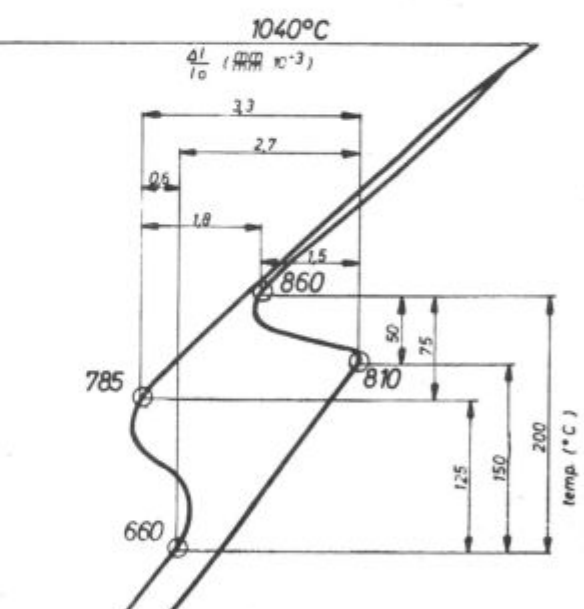
Slika 13  
Jeklo U C.4850 — OCR 12 VM  
Fig. 13  
Steel U C.4850 — OCR 12 VM



Slika 14  
Jeklo V C.4754 — CRV  
Fig. 14  
Steel V C.4754 — CRW

nosorazmerno odvisnost med spremenljivkama. Pregled take korelacijske matrike nam da zgoščeno mnogo informacij, ki jih lahko izkoristimo za nadaljne analize vplivov in odvisnosti. Poglejmo nekaj teh!

Pri ugotavljanju vplivov kemijske sestave — vsebnosti ogljika, kroma, volframa, molibdena in



Slika 15  
Jeklo Z C.7680 — BRM 2  
Fig. 15  
Steel Z C.7680 — BRM 2

vanadija — na temperature in temperaturne razlike premenskih točk so vse enačbe regresije zadovoljile kriterije statistične pomembnosti nad 99 %.

Slika 16 prikazuje vpliv ogljika in vanadija na temperaturo premene Ac <sup>začetek</sup> s koeficientom determinacije  $R^2 = 0,924$  in 95 % območjem napake  $\pm 8,9^{\circ}\text{C}$  za odvisno spremenljivko. Teinperatura te

Tabela 2 — Temperaturna razlika med premenskimi točkami

| Oznaka prob | Vrsta jekla              | $Ac_3 - Ac_1$ | Temperaturne razlike v °C |          |          |          |  |
|-------------|--------------------------|---------------|---------------------------|----------|----------|----------|--|
|             |                          | $x_{35}$      | $x_{59}$                  | $x_{67}$ | $x_{38}$ | $x_{69}$ |  |
| J           | 2 C — 12 Cr              | 30            | 70                        | 25       | 65       | 95       |  |
| K           | 1,5 C — 12 Cr            | 35            | 80                        | 35       | 80       | 115      |  |
| L           | 1,5 C — 12 Cr — 1 V      | 30            | 75                        | 30       | 75       | 105      |  |
| M           | 1,5 C — 12 Cr — 1 Mo     | 35            | 95                        | 55       | 115      | 150      |  |
| N           | 1,5 — 12 Cr — 1 V — 1 Mo | 25            | 90                        | 50       | 115      | 140      |  |
| R           | Č. 4150 — OCR 12         | 35            | 65                        | 35       | 65       | 100      |  |
| S           | Č. 4650 — OCR 12 spec.   | 35            | 85                        | 40       | 90       | 125      |  |
| T           | Č. 4750 — OCR 12 extra   | 35            | 95                        | 50       | 110      | 145      |  |
| U           | Č. 4850 — OCR 12 VM      | 30            | 95                        | 55       | 120      | 150      |  |
| V           | Č. 4754 — CRV            | 35            | 105                       | 100      | 170      | 205      |  |
| Z           | Č. 7680 — BRM-2          | 50            | 75                        | 125      | 150      | 200      |  |

Tabela 3 — Razlike dilatacij med premenskimi točkami

| Oznaka prob | Vrsta jekla                | Razlike med odčitki dilatacij premenskih točk |               |               |               |               |
|-------------|----------------------------|---|---------------|---------------|---------------|---------------|
|             |                            | $Ac_1 - Ac_3$                                 | $Ac_3 - Ar_3$ | $Ar_1 - Ar_3$ | $Ac_1 - Ar_1$ | $Ac_1 - Ar_3$ |
|             |                            | $x_{39}$                                      | $x_{11}$      | $x_{12}$      | $x_{13}$      | $x_{14}$      |
| J           | 2 C — 12 Cr                | 1,5   | 0,5           | 1,3           | 0,7           | 2,0           |
| K           | 1,5 C — 12 Cr              | 1,5   | 0,7           | 1,6           | 0,6           | 2,2           |
| L           | 1,5 C — 12 Cr — 1 V        | 1,8   | 0,9           | 1,8           | 0,9           | 2,7           |
| M           | 1,5 C — 12 Cr — 1 Mo       | 1,5   | 1,5           | 1,5           | 1,5           | 3,0           |
| N           | 1,5 C — 12 Cr — 1 V — 1 Mo | 1,4   | 1,8           | 1,4           | 1,8           | 3,2           |
| R           | Č. 4150 — OCR 12           | 1,5   | 1,0           | 1,4           | 1,1           | 2,5           |
| S           | Č. 4650 — OCR 12 spec.     | 1,5   | 0,6           | 1,2           | 0,9           | 2,1           |
| T           | Č. 4750 — OCR 12 extra     | 1,5   | 1,1           | 1,6           | 1,0           | 2,6           |
| U           | Č. 4850 — OCR 12 VM        | 1,6   | 1,6           | 1,7           | 1,5           | 3,2           |
| V           | Č. 4754 — CRV              | 1,7   | 1,7           | 0,3           | 3,1           | 3,4           |
| Z           | Č. 7680 — BRM-2            | 1,5   | 1,8           | 0,6           | 2,7           | 3,3           |

Tabela 4 — Osnovni statistični podatki spremenljivk v analizi korelacij

| št. | Spremenljivka<br>naziv                    | Srednja<br>vrednost | Območje |       |
|-----|---|---------------------|---------|-------|
|     |   |                     | od      | do    |
| 01  | Premenska točka $Ac_1$ °C                 | 797,7               | 770     | 815   |
| 02  | Premenska točka $Ac_3$ °C                 | 831,8               | 805     | 860   |
| 03  | Premenska točka $Ar_3$ °C                 | 747,2               | 730     | 785   |
| 04  | Premenska točka $Ar_1$ °C                 | 692,7               | 630     | 725   |
| 05  | Temperaturna razlika $Ac_3 - Ac_1$ °C     | 34,1                | 25      | 50    |
| 06  | Temperaturna razlika $Ac_3 - Ar_3$ °C     | 84,5                | 65      | 105   |
| 07  | Temperaturna razlika $Ar_3 - Ar_1$ °C     | 54,5                | 25      | 125   |
| 08  | Temperaturna razlika $Ac_1 - Ar_1$ °C     | 105,0               | 65      | 170   |
| 09  | Temperaturna razlika $Ac_3 - Ar_1$ °C     | 139,1               | 95      | 205   |
| 10  | Razlika dilatacij $Ac_1 - Ac_3$ $10^{-3}$ | 1,54                | 1,40    | 1,80  |
| 11  | Razlika dilatacij $Ac_3 - Ar_3$ $10^{-3}$ | 1,20                | 0,50    | 1,80  |
| 12  | Razlika dilatacij $Ar_1 - Ar_3$ $10^{-3}$ | 1,31                | 0,30    | 1,80  |
| 13  | Razlika dilatacij $Ac_1 - Ar_1$ $10^{-3}$ | 1,44                | 0,60    | 3,10  |
| 14  | Razlika dilatacij $Ac_1 - Ar_3$ $10^{-3}$ | 2,74                | 2,00    | 3,40  |
| 16  | % C v končni analizi                      | 1,60                | 0,85    | 2,18  |
| 17  | % Cr v končni analizi                     | 11,19               | 4,29    | 12,70 |
| 18  | % W v končni analizi                      | 0,73                | 0,00    | 6,40  |
| 19  | % Mo v končni analizi                     | 0,89                | 0,01    | 5,15  |
| 20  | % V v končni analizi                      | 0,54                | 0,01    | 1,97  |

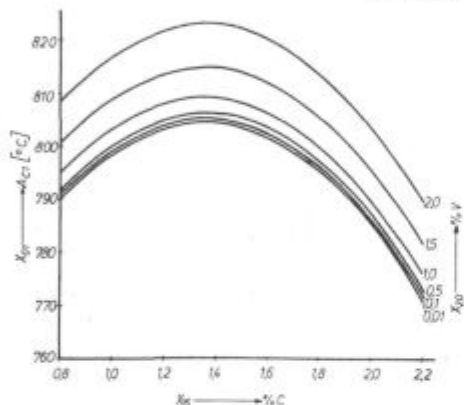
Tabela 5 — Izrez korelacijske matrike v izpisu računalnika (nazivi spremenljivk so navedeni v tabeli 4)

|                 | Premenske točke |                 |                 |                 | Razlike temperatur |                 |                 |                 |                 |                 | Razlike dilatacij |                 |                 |                 |
|-----------------|-----------------|-----------------|-----------------|-----------------|--------------------|-----------------|-----------------|-----------------|-----------------|-----------------|-------------------|-----------------|-----------------|-----------------|
|                 | x <sub>01</sub> | x <sub>02</sub> | x <sub>03</sub> | x <sub>04</sub> | x <sub>05</sub>    | x <sub>06</sub> | x <sub>07</sub> | x <sub>08</sub> | x <sub>09</sub> | x <sub>10</sub> | x <sub>11</sub>   | x <sub>12</sub> | x <sub>13</sub> | x <sub>14</sub> |
| x <sub>16</sub> | -0,74           | -0,87           | -0,50           | 0,66            | -0,48              | -0,43           | -0,86           | -0,85           | -0,86           | -0,30           | -0,73             | 0,56            | -0,81           | -0,78           |
| x <sub>17</sub> | -0,29           | -0,61           | -0,68           | 0,57            | -0,84              | 0,10            | -0,87           | -0,59           | -0,69           | 0,05            | -0,52             | 0,64            | -0,67           | -0,50           |
| x <sub>18</sub> | 0,26            | 0,59            | 0,75            | -0,39           | 0,86               | -0,21           | 0,74            | 0,43            | 0,54            | -0,17           | 0,35              | -0,49           | 0,47            | 0,31            |
| x <sub>19</sub> | 0,45            | 0,73            | 0,71            | -0,56           | 0,78               | 0,005           | 0,87            | 0,65            | 0,73            | -0,15           | 0,63              | -0,56           | 0,68            | 0,58            |
| x <sub>20</sub> | 0,59            | 0,67            | 0,74            | -0,20           | 0,32               | -0,10           | 0,56            | 0,41            | 0,43            | 0,10            | 0,60              | -0,19           | 0,49            | 0,69            |

$$x_{01} = 719,22 + 126,934 \cdot x_{16} - 46,936 \cdot x_{16}^2 + 4,4597 \cdot x_{20}^2$$

Deleži povečanja R<sup>2</sup>:

$$\begin{aligned} x_{16} &\dots \% C \dots \text{za } 0,8470 \\ x_{20} &\dots \% V \dots \text{za } 0,0768 \\ &\text{Skupaj: } 0,9238 \end{aligned}$$



Slika 16

Vpliv sestave na premensko točko Ac<sub>začetek</sub>

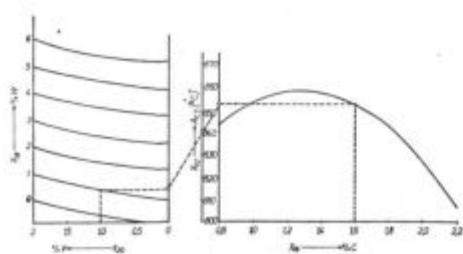
Fig. 16

Influence of composition on the transformation point Ac<sub>start</sub>

$$x_{02} = 770,566 + 106,382 \cdot x_{16} - 41,360 \cdot x_{16}^2 + 3,99 \cdot x_{18} + 0,838 \cdot x_{20}^2$$

Deleži povečanja R<sup>2</sup>:

$$\begin{aligned} x_{16} &\dots \% C \dots \text{za } 0,8650 \\ x_{20} &\dots \% V \dots \text{za } 0,0479 \\ x_{18} &\dots \% W \dots \text{za } 0,0403 \\ &\text{Skupaj: } 0,9532 \end{aligned}$$



Slika 17

Vpliv sestave na premensko točko Ac<sub>konec</sub>

Fig. 17

Influence of composition on the transformation point Ac<sub>end</sub>

premene je najvišja pri vsebnosti 1,4 % ogljika, ki ima prevladujoč vpliv. Vanadij povisuje temperaturo te premene v celotnem območju variacij, čeprav je njegov vpliv precej šibkejši od ogljika. Vpliv kroma, volframa in molibdena v tej regresijski analizi ni bil statistično pomemben.

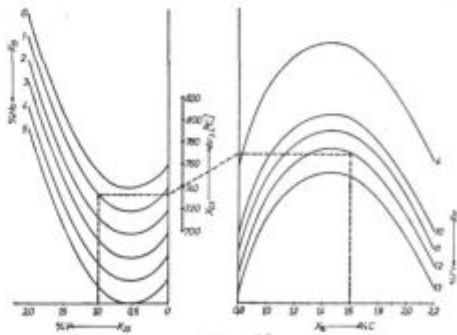
Podobno so izraženi tudi vplivi kemijske sestave na temperaturo premene Ac<sub>konec</sub>, ki jih prikazuje nomogram na sliki 17. Poleg ogljika in vanadija je pokazala pomemben vpliv tudi vsebnost volframa. Koeficient determinacije pri tej odvisnosti je 0,953, napaka določitve odvisne spremenljivke s 95 % statistično zanesljivostjo pa je  $\pm 8,3^{\circ}\text{C}$ . Vsebnost ogljika izraža pri svojem vplivu podoben maksimum kot na sliki 16, le da je ta maksimum pomaknjen k nekoliko nižji vsebnosti ogljika, kar je razumljivo zaradi dodatnega upoštevanja volframa — karbidotvorca. Volfram in vanadij v celotnem območju variacij povisujeta temperaturo premene Ac<sub>konec</sub>, čeprav je zanj parcialni koeficient korelacije znatno manjši kot za ogljik.

$$P = 99 \% \quad R^2 = 0,968 \quad 1,96 S_{yx} = 8,6$$

$$x_{03} = 704,935 + 109,168 \cdot x_{16} - 37,65 \cdot x_{16}^2 - 0,1511 \cdot x_{17}^2 - 16,438 \cdot x_{19} - 66,021 \cdot x_{20} + 59,792 \cdot x_{20}^2$$

Deleži povečanja R<sup>2</sup>:

$$\begin{aligned} x_{20} &\dots \% V \dots \text{za } 0,7528 \\ x_{17} &\dots \% Cr \dots \text{za } 0,1517 \\ x_{16} &\dots \% C \dots \text{za } 0,0460 \\ x_{19} &\dots \% Mo \dots \text{za } 0,0179 \\ &\text{Skupaj: } 0,9684 \end{aligned}$$



Slika 18

Vpliv sestave na premensko točko Ar<sub>začetek</sub>

Fig. 18

Influence of composition on the transformation point Ar<sub>start</sub>

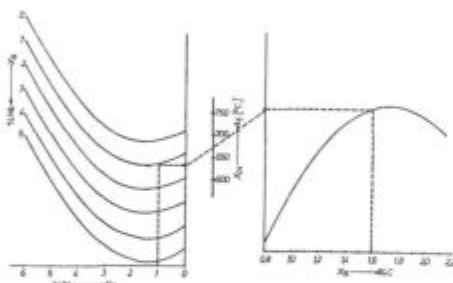
Vpliv kemijske sestave na premenske točke je pri ohlajanju (Ar) bistveno drugačen kot pri ogrevanju.

V odvisnosti temperature začetka premene pri ohlajanju (slika 18) od kemijske sestave so popularna zamenjane vloge posameznih elementov. Močno prevladuje vpliv vanadija, ki temperaturo začetka premene znižuje, kar je prav nasprotno od njegovega vpliva na premene pri ogrevanju. Najnižja je temperatura začetka premene pri 0,5 % V. Temperatura konca premene pa pri ohlajanju ne kaže statistično pomembne odvisnosti od vanadija (Slika 19).

$$\begin{aligned} P > 99,9 \% \quad R^2 = 0,984 \quad 1,96 S_{yx} = 10,1 \\ x_{04} = 383,23 + 399,36 \cdot x_{16} - 115,4 \cdot x_{16}^2 - \\ - 25,28 \cdot x_{18} + 8,93 \cdot x_{18}^2 - 35,61 \cdot x_{19} \end{aligned}$$

Deleži povečanja  $R^2$ :

$$\begin{aligned} x_{16} &\dots \% C \dots \dots \dots \text{za } 0,6078 \\ x_{18} &\dots \% W \dots \dots \dots \text{za } 0,1959 \\ x_{19} &\dots \% Mo \dots \dots \dots \text{za } 0,1799 \\ &\text{Skupaj: } 0,9836 \end{aligned}$$



Slika 19

Vpliv sestave na premensko točko  $Ar_{konec}$

Fig. 19

Influence of composition on the transformation point  $Ar_{konec}$

Temperaturo začetka premene pri ohlajanju precej znižuje krom. Molibdenov vpliv je manj pomemben, čeprav tako kot krom to temperaturo znižuje linearno.

Ogljik kaže tako pri ogrevanju kot pri ohlajanju enako obliko vpliva, le da je pri odvisnostih temperatur  $Ac_{začetek}$ ,  $Ac_{konec}$  in  $Ar_{konec}$  najpomembnejši vplivni element, pri odvisnosti premene  $Ar_{začetek}$  pa je njegov delež determinacije zelo majhen.

Na sliki 19 je precej jasno prikazan zelo podoben in tudi skoraj enako močen vpliv molibdena in volframa na zniževanje temperature konca premene pri ohlajanju.

Zanimiva je ugotovitev, da na širino temperaturnega območja premen pri ogrevanju najmočneje vpliva volfram, ki to razliko temperatur linearno povečuje s parcialnim koeficientom determinacije 0,748, medtem ko jo vanadij in krom linearne zmanjšuje, vendar z znatno manjšim parcialnim koeficientom determinacije 0,146, oziroma 0,028. Enačba regresije je pri tem

$$\begin{aligned} \Delta T(Ac_{konec} - Ac_{začetek}) &= 53,55 - 1,6 \% Cr + \\ &+ 2,32 \% W - 5,91 \% V \end{aligned}$$

s 95 % napako  $\pm 4,1 ^\circ C$  in  $R^2 = 0,923$ .

Medtem ko je za vsa preiskovana jekla širina premenskega območja pri ogrevanju od 25 do  $50^\circ C$ , je premensko območje pri ohlajanju precej širše in znaša od 25 do  $125^\circ C$ . S koeficientom determinacije  $R^2 = 0,9696$  in napako  $1,96 S_{yx} = 12,6$  velja enačba regresije

$$\begin{aligned} \Delta T(Ar_{začetek} - Ar_{konec}) &= 216,14 - 36,96 \% C - \\ &- 0,728 (\% Cr)^2 - 11,36 (\% V)^2 \end{aligned}$$

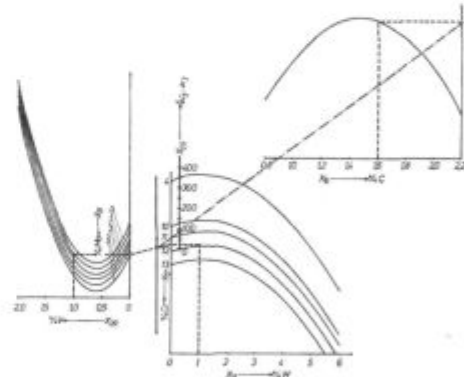
Največji je parcialni koeficient determinacije za krom (0,804).

Temperaturne razlike med koncem premene pri ogrevanju in začetkom premene pri ohlajanju so za vsa preiskovana jekla 65 do  $105^\circ C$ . Rezultate za to regresijsko analizo podaja slika 20.

$$\begin{aligned} P > 99,9 \% \quad R^2 = 0,9904 \quad 1,96 S_{yx} = 5,4 \\ x_{06} = 193,18 + 193,29 \cdot x_{16} - 65,79 \cdot x_{16}^2 - \\ - 1,559 \cdot x_{17}^2 + 32,565 \cdot x_{18}^2 - 14,04 \cdot x_{18}^2 - \\ - 7,566 \cdot x_{19} - 166,77 \cdot x_{20} + 136,02 \cdot x_{20}^2 \end{aligned}$$

Deleži povečanja  $R^2$ :

$$\begin{aligned} x_{20} &\dots \% V \dots \dots \dots \text{za } 0,3968 \\ x_{16} &\dots \% C \dots \dots \dots \text{za } 0,2540 \\ x_{19} &\dots \% Mo \dots \dots \dots \text{za } 0,2297 \\ x_{18} &\dots \% W \dots \dots \dots \text{za } 0,0593 \\ x_{17} &\dots \% Cr \dots \dots \dots \text{za } 0,0506 \\ &\text{Skupaj: } 0,9904 \end{aligned}$$

Slika 20  
Vpliv sestave na temperaturno razliko  $Ac_{konec} - Ar_{začetek}$ Fig. 20  
Influence of composition on the temperature difference  $Ac_{konec} - Ar_{začetek}$ 

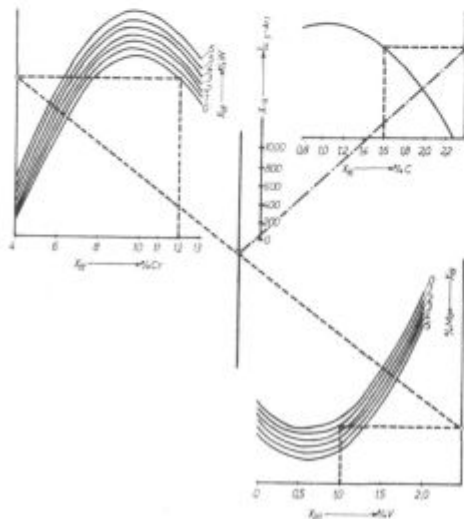
Pri analizah širine premenskih območij je prav gotovo najpomembnejša razlika temperatur med koncem premene pri ogrevanju in koncem premene pri ohlajanju. Ta razlika ponazarja celotno širino premenskega območja, ne upoštevajoč raztopljanje in izločanje karbidov. Za celo skupino preiskovanih jekel se ta širina območja spreminja od 95 do  $205^\circ C$  in nanjo vplivajo prav vsi elementi kemijske sestave, kakor prikazuje slika 21.

$$P > 99,9 \% \quad R^2 = 0,99995 \quad 1,96 S_{yx} = 1,1$$

$$x_{16} = -2027,62 + 150,9 \cdot x_{16} - 72,76 \cdot x_{16}^2 + \\ + 463,99 \cdot x_{17} - 23,57 \cdot x_{17}^2 + 37,22 \cdot x_{18} - \\ - 30,57 \cdot x_{19} - 436,04 \cdot x_{20} + 353,88 \cdot x_{20}^2$$

Deleži povečanja  $R^2$ :

|          |            |                 |
|----------|------------|-----------------|
| $x_{16}$ | ..... % C  | ..... za 0,7951 |
| $x_{17}$ | ..... % Cr | ..... za 0,1238 |
| $x_{20}$ | ..... % V  | ..... za 0,0417 |
| $x_{19}$ | ..... % Mo | ..... za 0,0260 |
| $x_{18}$ | ..... % W  | ..... za 0,0133 |
| Skupaj:  |            | 0,9999          |



Slika 21

Vpliv sestave na temperaturno razliko  $Ac_{\text{konec}} - Ar_{\text{konec}}$

Fig. 21

Influence of composition on the temperature difference  
 $Ac - Ar$

S celo serijo regresijskih analiz smo obravnavali dilatacije v premenskem območju. Tudi te regresije so bile vse statistično zelo pomembne.

Razlike dilatacij v celotnem območju od  $Ac_{\text{začetek}}$  do  $Ar_{\text{konec}}$  so vsekakor najzanimivejše, zato naj samo za ta primer podamo rezultate regresijske analize:

$$P > 99,9 \% \quad R^2 = 0,997 \quad 1,96 S_{yx} = 0,138$$

$$\Delta l (Ac_{\text{začetek}} - Ar_{\text{konec}}) = x_{13} = 9,422 - \\ - 10,176 \cdot x_{16} + 2,8998 \cdot x_{16}^2 - 0,0397 \cdot x_{18} - \\ - 0,132 \cdot x_{18}^2 + 0,885 \cdot x_{19} + 0,242 \cdot x_{20}^2 \dots \\ \dots [ \frac{\text{mm}}{\text{mm}} \cdot 10^{-3} ]$$

Deleži povečanja  $R^2$ :

|          |            |                 |
|----------|------------|-----------------|
| $x_{16}$ | ..... % C  | ..... za 0,7823 |
| $x_{19}$ | ..... % Mo | ..... za 0,1041 |
| $x_{18}$ | ..... % W  | ..... za 0,0951 |
| $x_{20}$ | ..... % V  | ..... za 0,0154 |

Skupaj: 0,9969

## ZAKLJUČKI

Premenske točke so vsekakor značilna lastnost vrste jekla, zato je razumljivo, da nas je v raziskovalnem projektu najprej zanimala odvisnost premenskih karakteristik od kemijske sestave jekla.

Standardne premenske točke  $Ac$  in  $Ar$  so pri ledeburitnih orodnih jeklih v praksi res nekoliko manj pomembne, ker so pri toplotni obdelavi temperature avstenitizacije znatno višje zaradi raztavljanja karbidov. Kljub temu so nekatere ugotovite izvršenih meritev in analiz zelo zanimive.

Posebna prilika za ugotavljanje vplivov posameznih legirnih elementov na premenske karakteristike se je nudila s serijo talin J, K, L, M, N, pri katerih lahko s planiranimi variacijami pri isti matični talini ugotavljamo vplive elementov posamezno. Pri vseh drugih talinah pa so mogoče zanimive medsebojne primerjave za tipične kemijske sestave jekel.

Ob sistematičnih variacijah kemijske sestave tipičnih jekel smo izkoristili tudi dane možnosti za statistične obdelave z metodo regresijske analize. Te smo razdelili na tri dele z ugotavljanjem vpliva kemijske sestave na:

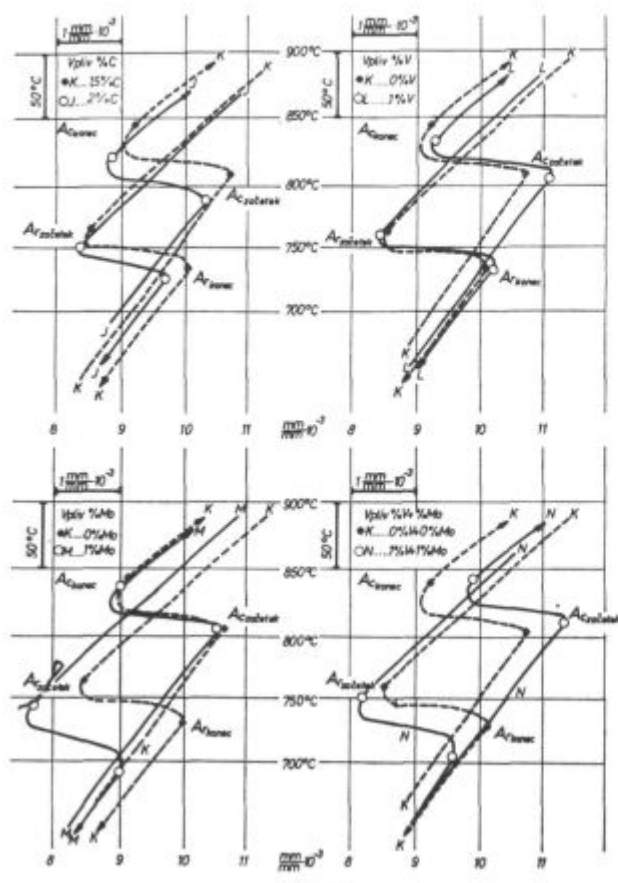
- temperature premenskih točk,
- temperaturne razlike med premenskimi točkami,
- dilatacije v premenskih območjih.

Iz nekaterih podatkov v tabelah 2 in 3 hitro ugotovimo, da talini V in Z znatno odstopata od družine ostalih ledeburitnih jekel. To je tudi razumljivo, saj sta to bistveno drugačni vrsti jekel in smo ju vključili v analizo predvsem zaradi medsebojnih primerjav.

Pri regresijskih analizah smo kljub razmeroma majhnemu številu šarž ugotovili izredno visoke stopnje determinacije ( $R^2$ ) in razmeroma majhne standardne napake za 95 % območje statistične zanesljivosti.

Premeni  $Ac_{\text{začetek}}$  (v analizi  $Ac_1$ ) in  $Ac_{\text{konec}}$  analizi  $Ac_3$  sta odvisni predvsem od vsebnosti ogljika, kar poleg nomogramov na slikah 16 in 17 nazorno ilustrira tudi zgornji levi del slike 22. Nižji odstotek ogljika zviša temperaturo obeh premenskih točk. V regresijski analizi sta se izkazala kot statistično pomembna vpliva vsebnosti vanadija in volframa, vendar sta oba z znatno nižjim koeficientom determinacije  $R^2$  v primerjavi z vplivom ogljika komaj omembe vredna. Tudi to ugotovitev potrjuje ilustracija na sliki 22. Molibden skoraj ne vpliva na premenske temperature pri ogrevanju.

Pri regresijah za temperature premen  $Ar$  nekoliko preseneča majhen koeficient determinacije za vpliv molibdena, saj se ta močno izraža na slikah 18 in 19, pa tudi ilustracije na slikah 22 in 23 potrjujejo znane ugotovitve iz prakse drugih vrst jekel. Molibden močno vpliva na premene pri ohlajanju in povzroča histerezo, med  $Ac$  in  $Ar$ , ki jo večkrat v praksi kaljenja lahko s pridom izkori-

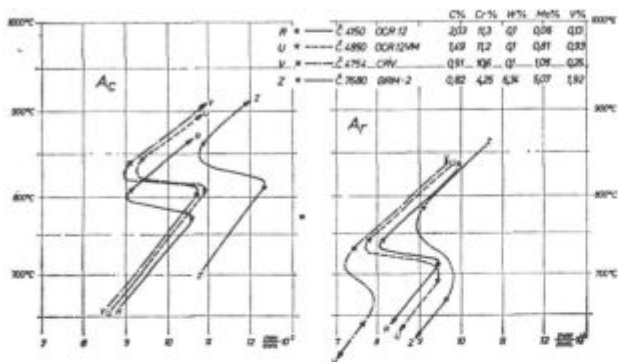


Slika 22

Vpliv ogljika, vanadija in molibdena na premenske točke Ac in Ar za ledeburitno orodno jeklo z 12 Cr

Fig. 22

Influence of carbon, vanadium, molybdenum on the transformation points Ac and Ar for ledeburite tool steel with 12 % Cr.



Slika 23

Primerjava premenskih točk za štiri vrste tipičnih ledeburitnih jekel

Fig. 23

Comparison of transformation points for four typical ledeburite steel.

ščamo. Naj kar takoj omenimo, da si pri ledeburitnih orodnih jeklih ne moremo privoščiti počasnega ohlajanja ali časovnega intervala med padanjem temperature od temperature avstenitizacije do  $Ar_{začetek}$ , ker ne smemo dopuščati prekomernega izločanja karbidov iz trdne raztopine.

Iz prikazanega vpliva vanadija na sliki 22 bi sklepal, da je vpliv vanadija neznaten. Podrobnejša analiza regresije s pomočjo slike 18 pa nam kaže izredno možan vpliv vanadija, obenem pa nam pojasni majhne razlike na sliki 22 zaradi sovpadanja temperatur Ar<sub>3</sub> za 0 in 1 % V.

Sliki 18 in 19 nam zelo nazorno kažeta vpliv molibdena, obenem pa nam nakazujeta sugestije za spremembe kemijske sestave, če želimo potisniti premene Ar k nižjim temperaturam z izkorisčanjem možnosti počasnega prenosa orodij od ogrevanja na temperaturi avstenitizacije do ohlajevalnega sredstva z zadržanjem v avstenitnem območju nad  $Ar_{začetek}$ . Te možnosti nam daje visoka vsebnost molibdena ob nižjih vsebnosti drugih legirnih elementov.

Tolerance določanja temperatur premenskih točk s 95 % statistično zanesljivostjo iz kemijske vsebnosti ogljika in karbidotornih elementov v jeklu znašajo po opravljenih analizah  $\pm 8$  do  $10^{\circ}\text{C}$ .

V drugi seriji regresijskih analiz smo ugotavljali, kateri elementi odločajo, kolikšne so temperaturne razlike med premenskimi točkami. Zanimivo je, da na širino temperaturnega intervala premene alfa-gama pri ogrevanju najmočneje vpliva volfram.

Posebno zanimiva je temperaturna razlika med koncem premene pri ogrevanju in začetkom premene pri ohlajanju. Odvisnost te temperaturne razlike od sestave je prikazana na sliki 20. Žal je, kakor že omenjeno, ta analiza pri ledeburitnih orodnih jeklih le teoretično zanimiva, pri toplotni obdelavi v praksi pa skoraj nima pomena. Z enakim redom velikosti izražajo vpliv V, C, Mo, nekoliko manj pa W in Cr.

Na sliki 21 je obravnavano celotno temperaturno območje premen.

Drugi temperaturni razlik nismo grafično prikazali, pač pa smo jih analizirali in podali z regresijskimi enačbami.

V tretjem delu regresijskih analiz so zanimivi podatki o jakosti vplivov posameznih elementov na velikost dilatacij v premenskih območjih.

Kot praktično dopolnilo k sliki 22 je na sliki 23 podana primerjava premenskih točk za štiri tipične vrste jekel. Ta primerjava dobro dopolnjuje prejšnje ugotovitve.

## ZUSAMMENFASSUNG

Im Artikel werden die Einflüsse der chemischen Zusammensetzung auf die Umwandlungstemperaturpunkte und auf die teilweise und gesamte Dehnung im Um-

wandlungsbereich für elf Sorten der ledeburitischen Stähle behandelt. Die Regressionsanalyse umfasst folgende Gehaltsbereiche der einzelnen Elemente:

$C = 0.85 - 2.18 \%$ ,  $Cr = 4.29 - 12.7 \%$ ,  $W = 0 - 6.4 \%$ ,  
 $Mo = 0.01 - 5.15 \%$ ,  $V = 0.01 - 1.97 \%$ .

Die festgestellten Regressionsabhängigkeiten besitzen einen hohen Bestimmtheitsmass (R<sup>2</sup>) und eine verhältnismässig kleine Standardabweichung für den Bereich der 95 % statistischen Sicherheit.

Die Umwandlungspunkte Ac Anfang und Ac Ende sind vor allem vom Koklenstoffgehalt abhängig und erreichen einen Maximum bei einem Gehalt von 1.4—1.6 %. Eine Verminderung oder eine Erhöhung des Kohlenstoffgehaltes im Vergleich mit diesem Gehalt erniedrigt die Umwandlungstemperaturpunkte. Die Karbidbildenden Elemente beeinflussen die einzelnen Umwandlungspunkte verschieden oder mit verschiedener Stärke, was auf den Nomogrammen und von den Anteilen der Vergrösserung des

Bestimmtheitsmasskoefizienten für die einzelnen Elemente dargestellt ist.

Molibden hat fast keinen Einfluss auf die Umwandlungstemperaturen beim Erwärmen, jedoch beeinflusst den Umwandlungsverlauf beim Abkühlen stark. Auf diese Weise vergrössert Molibden stark die Hysterese im Umwandlungsbereich.

Der Einfluss von Vanadium ist bedeutend beim Erwärmen sowie beim Abkühlen, es hat einen entscheidenden Einfluss vor allem auf die Umwandlungs temperatur Ar Anfang wo beim 0.5 % V ein Minimum der Umwandlungs temperatur auftritt, ein grösserer Vanadiumzusatz erhöht diese Temperatur stark.

Wolfram erweitert den Umwandlungstemperaturbereich stark.

## SUMMARY

Influence of the chemical composition on transformation temperatures, and on partial and overall dilatations in the transformation region is presented in the paper for 11 ledeburite tool steel. In analyses of regression the following composition intervals are included: 0.85 to 2.18 % C, 4.29 to 12.7 % Cr, 0 to 6.4 % W, 0.01 to 5.15 % Mo, and 0.01 to 1.97 % V.

The determined regression relationships have a very high degree of determination (R<sup>2</sup>) and relatively small standard error for the region of 95 % statistic reliability.

Transformations  $A_c$  and  $A_e$  depend mainly on carbon content and the maximum is exhibited at 1.4 to 1.6 % C. Lower and higher carbon values decrease the transformation temperatures. Carbide-forming elements influence the single transformation points in various ways and with dif-

ferent intensity as shown in nomograms and by the increase of the coefficient of determination for single elements.

Molybdenum has nearly no influence on transformation temperatures on heating but it has a very great influence during cooling. Thus hysteresis in the transformation region is highly enlarged.

Influence of vanadium is important in heating and in cooling, the highest influence has on the transformation point  $A_{c1}$  where the minimum is reached at 0.5 % V while higher addition of vanadium intensively increases this temperature.

Tungsten highly enlarges the region of transformation temperatures.

## ЗАКЛЮЧЕНИЕ

В статье рассмотрено влияние химического состава на точки преобразования и на парциальные и общие дилатации в пределах преобразования II-ти марок инструментальных сталей ледебуритного типа. В анализах регрессии включены следующие пределы содержания отдельных элементов: C = 0,85 — 2,18 %, Cr = 4,29 — 12,7 %, W = 0 — 6,4 %, Mo = 0,0 — 5,15 %, V = 0,01 — 1,97 %.

Установленные регрессивные зависимости имеют очень высокую степень детерминации (R<sup>2</sup>) и сравнительно низкую стандартную погрешность в области 95-ти % статистической надежности.

Точки преобразования  $A_c$  начало и  $A_e$  конец зависят главным образом от содержания углерода максимум которого находится при содержании 1,4 — 1,6 %. Снижение или увеличение углерода в отношении на это содержание снижает темп-ру точек преобразования. Карбидообразующие элементы влияют на отдельные точки

преобразования различно, или же с различной силой; это показано на рисунках при помощи номограмм. Влияние оказывает также увеличение коэффициента детерминации на отдельные элементы.

Молибден почти не оказывает влияния на темп-ру преобразования при нагреве, хотя очень сильно влияет на процесс точек преобразования при охлаждении. Таким образом в пределах преобразования значительно увеличивает гистерезис.

Влияние ванадия имеет значение при нагреве а также при охлаждении, но его решающее влияние главным образом на темп-ру преобразования A начало, при которой темп-ра преобразования с содержанием 0,5 % V имеет свой максимум, по мере увеличения содержания ванадия, температура преобразования сильно повышается.

Вольфрам значительно расширяет зону темп-го преобразования.